# 低熱膨張性ポリベンゾオキサゾール (13). 非対称型モノマーによる改質効果

東邦大理 〇林優大, 石井淳一, 長谷川匡俊

## 【要旨】

ポリベンゾオキサゾール (PBO) 系バッファーコート材の低熱膨張化を検討した。一般的に低熱膨張性 PBO の前駆体であるポリヒドロキシアミド (PHA) は汎用の有機溶媒に難溶で、重合中に析出しやすいなど課題があった。本検討の非対称モノマーから得られる PHA は、アミド溶媒に可溶であり、その PHA フィルムから得られる PBO の線熱膨張係数は 33.5 ppm/Kを示した。

#### 【緒言】

半導体素子は外部からの汚染やストレスなどから素子を守るためにバッファー層が設けられている。従来のバッファーコート材は、フォトリソグラフィーによって微細な加工が施されたポリヒドロキシアミド(PHA)を熱閉環し、ポリベンゾオキサゾール(PBO)に転換することで形成される。近年、半導体素子の高密度・高集積化によって、半導体基板であるシリコンウェハーが薄くなりつつある。その結果、バッファー層とシリコンウェハーとの熱膨張差によって生じる歪みによって素子への悪影響が懸念されている。そこで本研究では、従来のバッファーコート材の特徴を維持しつつ、PHAの優れた溶液加工性とPBO膜の低熱膨張化を目指した。

## 【実験】

ポリヒドロキシアミド (PHA) および PBO は Fig. 1 のスキームに従い重合した。Fig.1 中で使用 した活性エステル化モノマーは、対応するジカルボン酸を DMF に完全溶解させ、1-ヒトロキ シベンゾトリアゾールと縮合剤である *N,N'*-ジイソプロピルカルボジイミド(DIC), または 1-(3-ジメチルアミノプロピル)-3-エチルカルボジイミド塩酸塩(EDAC・HCl)を加え, 室温で 1 時間 撹拌し得た(OBBt は EDAC·HCl を用いて収率は 79%, a-M は DIC を用いて収率 76%)。 OBBt は熱メタノール洗浄し、a-M は酢酸エチルとヘキサンの混合溶媒で再結晶した。同定 は <sup>1</sup>H NMR, FT-IR, 元素分析でおこなった。 ポリヒドロキシアミドの重合は, 合成した活性エ ステル化モノマーと等モルのビス(o-アミノフェノール)を脱水 N-メチル-2-ピロドン(NMP)に 室温で全て溶解させ、窒素雰囲気下 100 ℃1 時間撹拌した後、150 ℃に昇温して <math>1 時間 加熱保持することで PHA 溶液を得た。 得られた PHA 溶液を 2-プロパノールとイオン交換水 (3:7)混合溶媒に滴下し PHA を析出させ, 重合時に生成する 1-ヒドロキシベンゾトリアゾー ルを除去し, 真空乾燥器で 120 ℃ 12 時間乾燥して PHA 粉末を得た。1-ヒドロキシベンゾト リアゾールの除去は「H NMR より確認した。PHA の還元粘度は、オストワルド粘度計によっ て NMP 0.5 wt%溶液(30 ℃)で測定した。定性的溶解性(1 wt%)は、PHA 粉末に対して 様々な有機溶媒で評価した。PHA 粉末の有機溶媒に対する溶解度は、一定量の GBL(γ-ブチロラクトン)または NMP に PHA 粉末を徐々に加え室温で溶解させ、流動性がなくなっ た時点を溶解度とした。製膜は、GBL に溶解させた PHA 溶液をガラス基板上にキャスト製 Fig.1 Polymerization scheme and molecular structures of monomers used in this work.

#### 【結果および考察】

Fig.1 に示した活性エステル化モノマーOBBt, または a-M から得られる PHA は、還元粘度として 0.41~3.7 dL/gと、一部に低い値を示す PHA もあったが、全ての PHA および PBOともに靭性のある自立膜を得ることができた。PHA 粉末の溶媒溶解性を Table 1、そして膜物性を Table 2 にまとめた。従来組成の 6FAP/OBBt は、汎用溶媒に可溶で、GBL に対して 30 wt%まで溶解できるほど、優れた溶液加工性を有していた。しかしながら、PBO 膜の平均線熱膨張係数 (CTE) は 55.6 ppm/K と高く、改善の必要があった。そこで、PBO 膜の CTE 増大を引き起す化学構造、すなわち屈曲成分を低減させ、直線構造の割合を高めた OBBt に

かわる非対称モノマー(a-M)を合成した。Table 1 に示すように、a-M と 6FAP から重合した PHA の溶解性は、酢酸エチルに溶解し、GBL に対しては 44 wt%まで溶解できたことから、OBBt よりも優れた溶解性を示すことが分かった。

Table 1 Solubility of PHA powder samples.

A	В	Solubility @ r.t.(wt%)	Qualitative solubility (1wt%)								
			NMP	DMAc	GBL	Tri-GL	THF	DOX	CF	AC	EtAc
6FAP	OBBt	30 (GBL)	++	++	++	++	++	++	土	++	<u>+</u>
6FAP	a-M	44 (GBL)	++	++	++	++	++	++	<u>+</u>	++	++
6FAP(80) p-HAB(20)	a-M	34 (GBL)	++	++	++	++	++	++	_	++	<u>+</u>
p-HAB	a-M	9.7 (NMP)	++	<u>+</u>	_	_	_	_	_	_	_

<sup>(++)</sup> Soluble at room temperature, (+) soluble upon heating at established temperature, (±)deformed or swelled, (-) insoluble.

DMAc= N,N-dimethylethanamide, GBL =  $\gamma$ -butyrolactone, TriGL = triglyme, THF = tetrahydrofuran, DOX = 1,4-dioxane, CF = chloroform, AC = Acetone, EtAc = Ethyl acetate

一方, Table 2 に示すように PBO 膜のガラス転移温度 ( $T_g$ ) は 317  $\mathbb{C}$ まで向上したが、 CTE は, 期待に反して 62.4 ppm/K と増大してしまった。しかしながら, a-M が示した高い溶解促 進性から、PHA 重合時にゲル化が生じ易く使用が困難であった低熱膨張化に有利な 4.4'-ジアミノ-3,3'-ジヒドロキシビフェニル(p-HAB)との重合が可能になると考えた。そして、6FAP の一部をp-HAB に 20 mol%置きかえたとき, 期待通り, 均一な重合溶液が得られた。しかし, PBO 膜の CTE は 60.8 ppm/K と、 やや低下するにとどまった。 このときの PHA 粉末は GBL に対して高い溶解度(34 wt%)を依然として示したので,全ての6FAPをp-HABに置き換え られると判断し重合したところ、ゲル化せず均一な重合溶液が得られた。単離した PHA 粉末 は、残念ながら GBL に再溶解できなかったが、NMP には溶解でき、その溶解度は 9.7 wt% であった。そして NMP 溶液から製膜した PHA の熱閉環で得られた PBO 膜の CTE は, 33.5 ppm/K まで低減することができた。ガラス転移温度は、Fig.2 の TMA 曲線が示すように、 6FAP/OBBt と 6FAP/a-M と比較した場合, 直線構造を導入した a-M の方が Tg が上昇し, a-Mを固定して6FAPからp-HABの導入率を増やすと $T_g$ が更に上昇する様子が確認できた。 これは Table 2 にまとめた DMA 評価からの  $T_g$ と同じ傾向であった。その他の膜物性として、 PBO 膜の熱分解温度(T<sub>d</sub><sup>5</sup>)は、従来の 6FAP/OBBt と比較て a-M 系は同程度、p-HAB/a-M に関しては窒素下で 563  $\mathbb{C}$ と優れた値を示した。しかしながら、PHA 膜の i 線透過率( $T_i$ ) は, 6FAP/OBBt でも 9.5%と低く, a-M や p-HAB 系では更に低下してしまった。この原因とし ては、モノマー由来の着色やPHA主鎖中に存在する共役構造、そして活性エステル化モノ

マーとビス(o-アミノフェノール)の重合で用いた重合溶媒 NMP が、加熱時に着色しやすことなどが考えられ、今後の検討課題である。

Table 2 Film properties of PHAs and PBOs.

		PHA			PBO				
A	В	[η <sub>red</sub> ] <sub>PHA</sub> (dL/g)	Redissolving solvent	T <sub>i</sub> (%) [Thickness]	Thermal condition	$T_{ m g}$ byDMA (°C)	$T_{ m d}^5$ N <sub>2</sub> /Air (°C)	CTE (ppm/K)	
6FAP	OBBt	0.52	GBL	9.5 [16 μm]	1	285	522 / 512	55.6	
6FAP	a-M	0.41	GBL	1.3 [20 μm]	1	317	520 / 504	62.4	
6FAP(80) <i>p</i> - HAB(20)	a-M	0.49	GBL	0.3 [18 μm]	1	323	520 / 508	60.8	
p-HAB	a-M	3.7	NMP	0.1 [23 μm]	2	369	563 / 503	33.5	

1; 250°C/1h + 350°C/ h, 2; 250°C/1h+450°C/1h

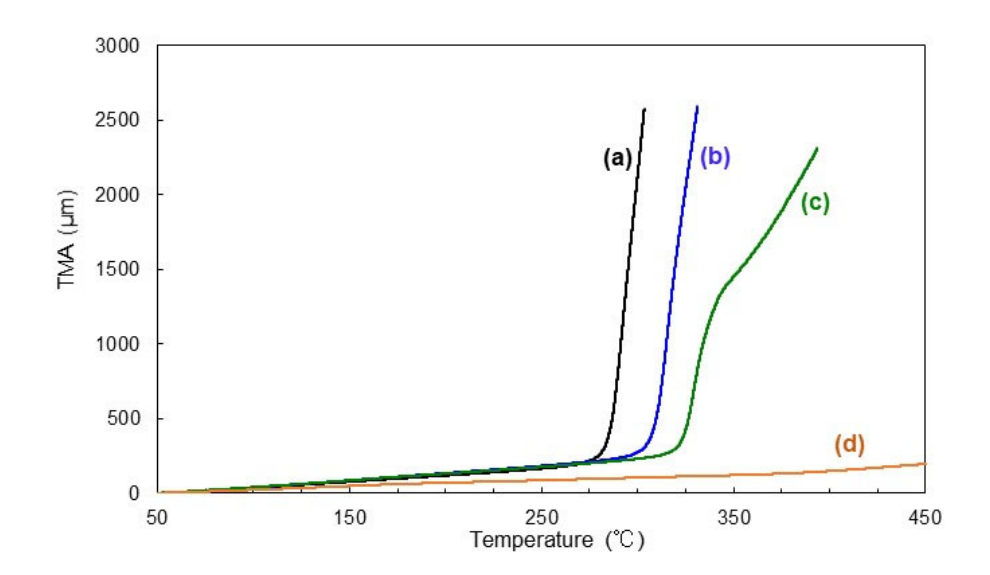


Fig.2 TMA curves of PBO films; (a) 6FAP/OBBt, (b) 6FAP/a-M, (c) 6FAP(80);p-HAB(20)/a-M, (d) p-HAB/a-M

### 【結論】

非対称モノマーa-M を用いることで、PHA の溶媒に対する溶解性が高まり、PHA 重合時にゲル化が生じ易く使用が困難であった低熱膨張化に有利な 4,4'-ジアミノ-3,3'-ジヒドロキシビフェニル(p-HAB)との重合が可能になった。p-HAB/a-M から得られた PBO 膜の CTE は 33.5 ppm/K と比較的低い値を示した。しかし、PHA の光透過率が 0.1%と低下し、更なる低 CTE 化とともに改善が必要である。